

# ความแข็งแรงพันธะของสารยึดติดระบบเซลฟ์อิโอดีบีน ภายหลังการบูรณะทันทีและภายหลังการบูรณะ 24 ชั่วโมง

วรรณรัตน์ สัตตบวรณศุข

อาจารย์ ภาควิชาทันตกรรมอนุรักษ์  
และทันตกรรมประดิษฐ์

คณะทันตแพทยศาสตร์ มหาวิทยาลัยศรีนครินทรวิโรฒ  
นนทบุรี จิรบันดาลสุข

ทันตแพทย์เอกชน

นาง นันทรัตน์

ทันตแพทย์

วิทยลัยการสาธารณสุขสิรินธร จ.พิษณุโลก

## ติดต่อเกี่ยวกับบทความ:

อาจารย์ ทันตแพทย์วรรณรัตน์ สัตตบวรณศุข  
ภาควิชาทันตกรรมอนุรักษ์และทันตกรรมประดิษฐ์  
คณะทันตแพทยศาสตร์ มหาวิทยาลัยศรีนครินทรวิโรฒ  
สุขุมวิท 23 เขตวัฒนา กรุงเทพฯ 10110

โทรศัพท์: 02-649-5212

โทรสาร: 02-649-5212

อีเมล: vanthana@swu.ac.th

## บทคัดย่อ

ในทางคลินิก ภายหลังการบูรณะโพรงฟันจะเกิดแรงต้านที่บริเวณยึดติดระหว่างฟันกับเรซินคอมโพสิตขึ้นทันทีอย่างหลีกเลี่ยงไม่ได้ งานวิจัยนี้มีวัตถุประสงค์เพื่อศึกษาและเปรียบเทียบความแข็งแรงพันธะของสารยึดติดระบบเซลฟ์อิโอดีบีน 2 ชนิด ต่อผิวเคลือบฟันภายหลังการบูรณะทันที และภายหลังการบูรณะ 24 ชั่วโมง ทำการทดสอบในพื้นกระเบื้องหินธรรมชาติ ของมนุษย์ สภาพสมมุติ ไม่มีรอยโรค และไม่เคยได้รับการบูรณะใด ๆ มา ก่อน ตัดแบ่งฟันในแนวใกล้กลาง-ไกลกลางและนำฟันแต่ละส่วนที่ได้ยึดในแบบหล่อด้วยปลั๊สเตอร์หินโดยให้ผิวเคลือบฟันบริเวณส่วนกลางฟันเผยแพร่ออกสู่ภายนอก ขัดผิวเคลือบฟันให้เรียบด้วยกระดาษทรายและทำการบูรณะด้วยสุดารเชินคอมโพสิตบนผิวเคลือบฟันบริเวณดังกล่าวโดยใช้สารยึดติดผลิตภัณฑ์เคลียร์ฟิล์โลเรอสบอนด์ หรือสารยึดติดผลิตภัณฑ์เคลียร์ฟิล์โลสอีบอนด์ ทดสอบความแข็งแรงพันธะเดือนระดับจุลภาคของสารยึดติดต่อผิวเคลือบฟันโดยทดสอบทันทีภายหลังการบูรณะ หรือทดสอบภายหลังการบูรณะเป็นเวลา 24 ชั่วโมง นำค่าความแข็งแรงพันธะเดือนมาวิเคราะห์ทางสถิติโดยใช้การวิเคราะห์ความแปรปรวนแบบสองทาง ตรวจสอบลักษณะพื้นผิวของชิ้นงานภายหลังการแตกหักด้วยกล้องจุลทรรศน์สเตรโอ mikro และเปรียบเทียบความแตกต่างโดยใช้สถิติแบบอนพารามetricชนิดโคสแควร์ รวมทั้งตรวจสอบลักษณะผิวเคลือบฟันภายหลังการปรับสภาพด้วยสารยึดติดแต่ละชนิดภายใต้กล้องจุลทรรศโนลีก์ตระอนนิสต่องราก จากการวิเคราะห์ทางสถิติพบว่าไม่มีความแตกต่างกันของค่าความแข็งแรงพันธะเดือนต่อผิวเคลือบฟันระหว่างสารยึดติดทั้ง 2 ผลิตภัณฑ์ ( $p = .224$ ) โดยที่ค่าความแข็งแรงพันธะเดือนเมื่อทำการทดสอบทันทีภายหลังการบูรณะมีค่าน้อยกว่าเมื่อทำการทดสอบภายหลังการบูรณะ 24 ชั่วโมงอย่างมีนัยสำคัญ ( $p < .001$ ) ชิ้นงานที่ทำการยึดด้วยเคลียร์ฟิล์โลเรอสบอนด์ จะพบการแตกหักภายในชิ้นสารยึดติดมากกว่าชิ้นงานที่ทำการยึดด้วยเคลียร์ฟิล์โลสอีบอนด์ อย่างมีนัยสำคัญเมื่อทำการทดสอบทันทีภายหลังการบูรณะ ( $p = .001$ ) ผิวเคลือบฟันที่ผ่านการปรับสภาพด้วยสารยึดติดทั้ง 2 ผลิตภัณฑ์ พบร่องรอยของรูขุรรูระเมื่อทำการตรวจสอบภายใต้กล้องจุลทรรศน์นลีก์ตระอนจากผลการศึกษาสรุปได้ว่าประสิทธิภาพการยึดติดกับผิวเคลือบฟันของสารยึดติดระบบเซลฟ์อิโอดีบีนทั้ง 2 ผลิตภัณฑ์ไม่มีความแตกต่างกัน แต่ความแข็งแรงพันธะเดือนของสารยึดติดต่อผิวเคลือบฟันภายหลังการบูรณะทันทีมีค่าน้อยกว่าความแข็งแรงพันธะเดือนภายหลังการบูรณะ 24 ชั่วโมง

## บทนำ

การรักษาทางทันตกรรมบูรณะนั้น นอกจากจะคำนึงถึงประไยช์ในเรื่องความทนทานต่อการใช้งานแล้ว ยังมุ่งเน้นในเรื่องของความสวยงามเป็นสำคัญ<sup>1</sup> วัสดุบูรณะสีคล้ายฟันประภาพเทเรซินคอมโพลิเมต (Resin-based composite) ได้เข้ามามีบทบาทเป็นอย่างมากในปัจจุบัน ซึ่งการที่เรซินคอมโพลิเมตจะสามารถยึดติดกับโครงสร้างของฟันได้นั้นจำเป็นต้องอาศัยสารยึดติด (dental adhesive) โดยสารยึดติดสามารถเข้ามอกับเรซินคอมโพลิเมตได้โดยอาศัยพันธะเคมี (chemical bond) ในขณะที่การยึดระหว่างสารยึดติดกับโครงสร้างของฟันอาศัยพันธะทางกลระดับจุลภาค (micromechanical bond) จากการใช้สารเคมีที่มีความเป็นกรดปรับสภาพผิวฟันซึ่งจะทำให้เกิดการละลายของคุณประกอบอนินทรีย์ (inorganic composition) และแทนที่ด้วยสารยึดติด<sup>2,3</sup>

สารยึดติดมีการพัฒนาอย่างต่อเนื่องมาเป็นลำดับ เพื่อให้ได้ประสิทธิภาพที่ดีขึ้นในการยึดกับโครงสร้างของฟัน ปัจจุบันสามารถแบ่งสารยึดติดออกได้เป็น 4 กลุ่ม ตามลักษณะและขั้นตอนการใช้งาน<sup>4</sup> ได้แก่ สารยึดติดระบบเอนด์รินช์ 3 ขั้นตอน (Three-step etch-and-rinse adhesive system) สารยึดติดระบบเอนด์รินช์ 2 ขั้นตอน (Two-step etch-and-rinse adhesive system) สารยึดติดระบบเซลฟ์เอ็ทช์ 2 ขั้นตอน (Two-step self-etch adhesive system) และสารยึดติดระบบเซลฟ์เอ็ทช์ 1 ขั้นตอน (One-step self-etch adhesive system) ระบบเซลฟ์เอ็ทช์เป็นสารยึดติดที่ขัดขั้นตอนการใช้กรดฟอสฟอริก (Phosphoric acid) ในการปรับสภาพผิวฟัน และขั้นตอนการล้างน้ำออก โดยใช้มอนโอมิร์ที่มีความเป็นกรด (Acidic monomers) ในการปรับสภาพผิวฟันพร้อมเกิดการแทรกซึมของมอนโอมิร์ลงไปในขณะเดียวกัน รวมทั้งไม่ต้องล้างน้ำเพื่อกำจัดสารตั้งกล่าวอ กว่า การหลังการใช้งานทำให้ลดปัญหาข้อผิดพลาดในการรักษาความชื้นของเนื้อฟัน ภายหลังการใช้กรดฟอสฟอริกในการปรับสภาพและการล้างน้ำของสารยึดติดระบบเอนด์รินช์ (etch and rinse) รวมทั้งช่วยลดภาวะเสียหายฟันภายหลังการบูรณะ (Post-operative sensitivity) ลงได้<sup>4</sup> อย่างไรก็ตาม เนื่องจากสารยึดติดระบบเซลฟ์เอ็ทช์มีความเป็นกรดไม่มากนักเมื่อเทียบกับกรดฟอสฟอริก ทำให้ประสิทธิภาพในการยึดติดกับผิวเคลือบฟันซึ่งมีองค์ประกอบอนินทรีย์อยู่เป็นปริมาณมากนั้น ยังคงเป็นที่ถกเถียงกันอยู่ โดยการศึกษาส่วนใหญ่ระบุว่าความแข็งแรงพันธะของสารยึดติดระบบเซลฟ์เอ็ทช์ต่อผิวเคลือบฟันมีค่าน้อยกว่า หรืออย่างมาก ที่สุดคือใกล้เคียงกับสารยึดติดระบบเอนด์รินช์<sup>5-8</sup> ทั้งนี้ ขึ้นอยู่กับส่วนประกอบและความเป็นกรดของผลิตภัณฑ์เป็นสำคัญ<sup>9</sup>

การศึกษาประสิทธิภาพของสารยึดติดโดยพิจารณาจากความแข็งแรงพันธะของสารยึดติดต่อโครงสร้างของฟันนั้นมักจะทำภายหลังการบูรณะเป็นเวลาอย่างน้อย 24 ชั่วโมง เพื่อให้ปฏิกิริยาพอลิเมอร์เรซินของสารยึดติดและเรซินคอมโพลิเมตเกิดขึ้นอย่างสมบูรณ์<sup>10</sup> อย่างไรก็ตาม ในทางคลินิกจะเกิดแรงคีน (stress) ที่บริเวณยึดติดระหว่างฟันกับเรซินคอมโพลิเมตขึ้นทันที ภายหลังการบูรณะโครงฟันแรงคีนดังกล่าวเกิดขึ้นทั้งจากขั้นตอนการตบแต่งเค้ารูป (finishing and contouring) และการขัด (polishing) วัสดุบูรณะ รวมถึงการหดตัวของเรซินคอมโพลิเมตจากการเกิดปฏิกิริยาพอลิเมอร์เรซิน (Polymerization contraction)<sup>11</sup> ซึ่งหากความแข็งแรงพันธะของสารยึดติดต่อโครงสร้างของฟันโดยเฉพาะอย่างยิ่งต่อผิวเคลือบฟันไม่เพียงพอในการต้านทานแรงคีนดังกล่าว จะทำให้เกิดความล้มเหลวที่บริเวณยึดติด และอาจเกิดช่องว่างตามขอบของวัสดุบูรณะ (marginal gap) ได้<sup>11,12</sup>

งานวิจัยนี้มีวัตถุประสงค์เพื่อศึกษาและเปรียบเทียบความแข็งแรงพันธะของสารยึดติดระบบเซลฟ์เอ็ทช์ 2 ชนิด คือสารยึดติดระบบเซลฟ์เอ็ทช์ 1 ขั้นตอน และสารยึดติดระบบเซลฟ์เอ็ทช์ 2 ขั้นตอน ต่อผิวเคลือบฟันภายหลังการบูรณะทันที และภายหลังการบูรณะ 24 ชั่วโมง รวมทั้งตรวจสอบลักษณะผิวเคลือบฟัน ภายหลังการปรับสภาพด้วยสารยึดติดแต่ละชนิดภายใต้กล้องจุลทรรศน์อิเล็กตรอนชนิดส่องกราด โดยมีสมมติฐานว่าง (Null hypotheses) ทางสถิติของงานวิจัยคือ (1) ไม่มีความแตกต่างระหว่างความแข็งแรงพันธะของสารยึดติดระบบเซลฟ์เอ็ทช์แต่ละชนิดภายหลังการบูรณะทันที และภายหลังการบูรณะ 24 ชั่วโมง และ (2) ไม่มีความแตกต่างระหว่างความแข็งแรงพันธะของสารยึดติดระบบเซลฟ์เอ็ทช์ 2 ชนิดเมื่อทำการทดสอบในช่วงเวลาเดียวกัน

## วัสดุอุปกรณ์และวิธีการ

ประชากรที่ใช้ในการศึกษานี้เป็นพื้นกรามแท้ของมนุษย์จำนวน 12 ชี ซึ่งได้รับการถอนออกตามแผนการรักษาทางทันตกรรมของผู้ป่วย ฟันทั้งหมดอยู่ในสภาพสมบูรณ์ ไม่มีรอยโรค และไม่เคยได้รับการบูรณะใด ๆ มาก่อน โดยเก็บรักษาฟันไว้ในสารละลายน้ำมัน thymol solution ความเข้มข้นร้อยละ 0.1 โดยน้ำหนัก ที่อุณหภูมิ 4 องศาเซลเซียส และนำมาใช้ในการศึกษาภายในระยะเวลาไม่เกิน 3 เดือน หลังการถอนสารยึดติดและวัสดุบูรณะเรซินคอมโพลิเมต รวมถึงขั้นตอนวิธีการใช้งานของแต่ละผลิตภัณฑ์ถูกแสดงไว้ในตารางที่ 1

ตารางที่ 1 แสดงหมายเลขผลิตภัณฑ์ ส่วนประกอบ และวิธีการใช้งานของวัสดุที่ใช้ในการศึกษา

**Table 1** The batch numbers, compositions, and procedures of materials used in the study

Material	Batch number	Compositions	Procedures
Clearfil Tri-S Bond (Kuraray Medical, Okayama, Japan)	00044B	MDP, HEMA, Bis-GMA, hydrophobic dimethacrylate, ethyl alcohol, water, photoinitiators, accelerators, filler	Apply 20 sec; dry with high-pressure air stream 5 sec; light-cure 10 sec
Clearfil SE Bond (Kuraray Medical)	Primer : 00598B	MDP, HEMA, hydrophilic dimethacrylate, photoinitiators, water	Apply 20 sec; dry with gentle air stream 5 sec
	Bond liquid : 00855A	MDP, HEMA, Bis-GMA, hydrophobic dimethacrylate, photoinitiators, filler	Apply and gently air thin; light-cure 10 sec
Estelite Sigma (Tokuyama Dental, Ibaraki, Japan)	E629	Bis-GMA, TEGDMA, photoinitiators, fillers	Apply and light-cure 30 sec to a conventional quartz- tungsten-halogen light

MDP = 10-Methacryloyloxydecyl dihydrogen phosphate; HEMA = 2-Hydroxyethyl methacrylate; Bis-GMA = Bisphenol A glycidyl methacrylate; TEGDMA = Triethyleneglycol dimethacrylate

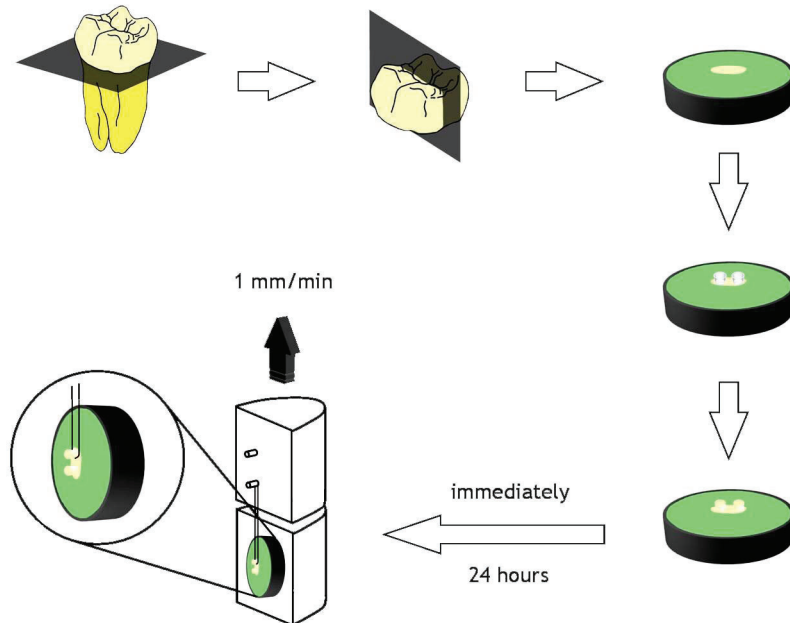
### การเตรียมชิ้นงานเพื่อทดสอบค่าความแข็งแรงพื้นฐานของสารยึดติดต่อผิวเคลือบฟัน

ใช้แผ่นคาร์บอรันดัม (carborundum disc) ร่วมกับเครื่องกรอความเร็วต่ำ (MF-Perfecta Type 9975; W&H Dentalwerk, Burmoos, Austria) ตัดส่วนรากฟันออกบริเวณรอยต่อเคลือบฟันกับเคลือบจากฟัน (cementum-enamel junction) จากนั้นแบ่งส่วนตัวฟันที่ได้ในแนวใกล้กลาง-ไกลกลาง (mesial-distal) บริเวณร่องกลางฟัน (central groove) โดยให้แนวในการตัดขนานกับแกนตามยาวของฟัน นำฟันแต่ละส่วนยึดในแบบหล่อกรงกระบอกขนาดเส้นผ่านศูนย์กลาง 0.75 มิลลิเมตร สูง 1 เซนติเมตร ด้วยปลายปلاสเตอร์ทินโดยให้ผิวเคลือบฟันบริเวณส่วนกลางฟัน (Middle 1/3) 接触到ออกสู่ภายนอก ขัดผิวเคลือบฟันบริเวณดังกล่าวด้วยกระดาษทรายความละเอียด 600 (Star World Water proof abrasive paper; J.V. Supplies, Bangkok, Thailand) เป็นเวลา 30 วินาที โดยมีน้ำรabay ความร้อนตลอดเวลา เพื่อให้ได้ผิวเคลือบฟันที่เรียบและควบคุมชั้นสมมิตรให้ได้มาตรฐานที่เท่ากันในทุกกลุ่มทดลอง ตรวจสอบผิวเคลือบฟันภายใต้กล้องจุลทรรศน์ stereovideo (Model SZ-CTV; Olympus, Tokyo, Japan) ว่าไม่มีการเผยแพร่องซั่นเนื้อฟันที่อยู่ข้างใต้ท้าสารยึดติดระบบเซลฟ์ເອທີ 1 ขั้นตอน ผลิตภัณฑ์เคลือบ-

ฟิลไตรเอกสารอนด์ (Clearfil Tri-S Bond; Kuraray Medical, Okayama, Japan) หรือสารยึดติดระบบเซลฟ์ເອທີ 2 ขั้นตอน ผลิตภัณฑ์เคลียร์ฟิลเอสอีบอนด์ (Clearfil SE Bond; Kuraray Medical) บนผิวเคลือบฟันโดยปฏิบัติตามคำแนะนำของบริษัทผู้ผลิต (ตารางที่ 1) วางท่อพลาสติกใส (Tygon; Saint-Gobain Performance Plastics, Akron, Ohio, USA) ขนาดเส้นผ่านศูนย์กลาง 0.75 มิลลิเมตร สูง 1 มิลลิเมตร ลงบนผิวเคลือบฟันบริเวณดังกล่าว โดยพันแต่ละส่วนสามารถวางท่อพลาสติกได้ 2 ท่อ บ่มให้สารยึดติดเกิดปฏิกิริยาพอลิเมอร์ไวเซ็นต์ด้วยเครื่องฉายแสงชนิดควอตซ์-หั่นสแตนไฮโลเจน (Quartz-tungsten-halogen light curing unit) พีคาลักซ์ (Pekalux; Bayer Dental, Leverkusen, Germany) ซึ่งควบคุมความเข้มแสงจากเครื่องฉายแสงไม่ต่ำกว่า 550 มิลลิวัตต์ต่อตารางเซนติเมตร ตลอดการศึกษา นำเรซิโนมโพลิเมติกวัณฑ์ເອສີ່ໄລ໌ ชิกม่า (Estelite Sigma; Tokuyama Dental, Ibaraki, Japan) ใส่ลงในท่อพลาสติกอย่างระมัดระวัง ใช้แผ่นพลาสติกไข่นาดเล็กปิดบริเวณรูเปิดของท่อพลาสติก และทำการบ่มให้เรซิโนมโพลิเมติกเกิดปฏิกิริยาพอลิเมอร์ไวเซ็นต์ด้วยเครื่องฉายแสงชนิดเดียว กันเป็นเวลา 30 วินาที ใช้ใบมีดผ่าตัด (Scalpel blade) ตัดท่อพลาสติกออก (รูปที่ 1) และตรวจสอบความสมบูรณ์ของชิ้นงานที่เตรียมได้

ภายใต้กล้องจุลทรรศน์สเตอริโอที่กำลังขยาย 40 เท่า ชิ้นงานที่มีความผิดปกติจากการเตรียม อาทิ รอยแยกที่บริเวณผิวนิวเคลียนคอม-

โพสิตและสารยึดติด หรือฟองอากาศขนาดใหญ่ภายในเรซินคอมโพสิต จะถูกคัดแยกออกและไม่นำมารวมในการศึกษานี้



รูปที่ 1 แผนภาพแสดงขั้นตอนการเตรียมชิ้นงาน

Fig. 1 Schematic illustration of specimen preparation

#### การทดสอบความแข็งแรงพันธะเฉือนระดับจุลภาคของสารยึดติดต่อผิวเคลือบฟัน

พันเดลล์ส่วนที่เตรียมชิ้นงานเรียบร้อยแล้ว จะถูกนำมาทดสอบความแข็งแรงพันธะเฉือนระดับจุลภาค (Microshear bond strength) ของสารยึดติดต่อผิวเคลือบฟัน โดยส่วนที่หันนีงูกนำมาราทดสอบภายในระยะเวลา 5 นาทีหลังการบ่มให้เรซินคอมโพสิตเกิดปฏิกิริยาพอลิเมอร์เรเขียนอย่างสมบูรณ์และส่วนที่สองของฟันซึ่งเดียวกันจะถูกนำมาทดสอบความแข็งแรงพันธะเฉือนภายในหลังการเก็บชิ้นงานไว้ในน้ำกลันที่อุณหภูมิ 37 องศาเซลเซียสเป็นเวลา 24 ชั่วโมง

ทดสอบความแข็งแรงพันธะเฉือนระดับจุลภาคด้วยเครื่องทดสอบอเนกประสงค์ (Model ZPS-DPU-100N; Imada, Aichi, Japan) และวัดค่าความแข็งแรงพันธะเฉือนด้วยเครื่องวัดระบบดิจิทัล (Digital force gauge; Imada) ซึ่งเชื่อมต่อโดยตรงกับเครื่องทดสอบอเนกประสงค์ ใช้ความกว้างเส้นผ่านศูนย์กลาง 0.2 มิลลิเมตร คล้องชิ้นเรซินคอมโพสิตกับเครื่องทดสอบ โดยให้ระนาบของบริเวณยึด

ติดระหว่างเรซินคอมโพสิตกับสารยึดติด ลาด และเครื่องทดสอบอยู่ในแนวเดียวกัน เคลื่อนลวดดังกล่าวด้วยความเร็ว 1 มิลลิเมตรต่อนาที จนกระทั่งเกิดการแตกหักของชิ้นงาน<sup>13</sup> (รูปที่ 1)

#### การตรวจสอบชิ้นงานภายใต้กล้องจุลทรรศน์

ชิ้นงานภายหลังการทดสอบความแข็งแรงพันธะของสารยึดติดต่อผิวเคลือบฟันจะถูกนำมาตรวจทดสอบลักษณะของพื้นผิวภายในห้องการแตกหักภายใต้กล้องจุลทรรศน์สเตอริโอที่กำลังขยาย 40 เท่า โดยจำแนกลักษณะการแตกหักของชิ้นงานออกเป็น 3 รูปแบบดัง

1. การแตกหักแบบแอดไฮซีฟ (Adhesive failure) หมายถึงการแตกหักของชิ้นงานบริเวณรอยต่อของผิวเคลือบฟันกับสารยึดติด
2. การแตกหักแบบโคลไฮซีฟ (Cohesive failure) หมายถึงการแตกหักของชิ้นงานภายใต้กล้องจุลทรรศน์ หรือภายในชิ้นสารยึดติด/เรซินคอมโพสิต

### 3. การแตกหักแบบผสม (Mixed failure) หมายถึง การแตกหักของชิ้นงานที่มีลักษณะผสมกันระหว่างการแตกหักแบบแอดไฮด์ริกและการแตกหักแบบโคไฮด์ริก

การตรวจสอบลักษณะผิวเคลือบฟันภายหลังการปรับสภาพด้วยสารยึดติดแต่ละผลิตภัณฑ์ภายใต้กล้องจุลทรรศน์อิเล็กตรอนชนิดส่องกราด (Scanning electron microscope) กระทำโดยสูมตัวอย่างพื้นกรามมนุษย์จำนวน 2 ชิ้น ตัดแบ่งส่วนตัวพื้นและเตรียมผิวเคลือบพื้นตามวิธีดังกล่าวข้างต้น ปรับสภาพผิวเคลือบพื้นด้วยมอนโอมอร์ที่มีความเป็นกรด (Acidic monomers) ของสารยึดติดแต่ละผลิตภัณฑ์ตามคำแนะนำของบริษัทผู้ผลิต กำจัดมอนโอมอร์บนผิวเคลือบพื้นโดยล้างด้วยแอลกอฮอล์ความเข้มข้นร้อยละ 95 โดยปริมาตร เป็นเวลา 5 นาที<sup>14</sup> เป่าลมให้ผิวเคลือบพื้นแห้ง และนำชิ้นพื้นที่เตรียมได้วางบนแท่งอะลูминียม (Aluminum stub) ชابผิวด้วยทอง (Gold sputter) และนำไปตรวจสอบลักษณะผิวเคลือบพื้นที่ผ่านการปรับสภาพด้วยสารยึดติดภายใต้กล้องจุลทรรศน์อิเล็กตรอนชนิดส่องกราด (JSM 5410 LV; JEOL, Tokyo, Japan) ที่กำลังขยาย 2,000 เท่า และ 5,000 เท่า

### การวิเคราะห์ข้อมูลทางสถิติ

นำค่าความแข็งแรงพันธะเฉือนของสารยึดติดต่อผิวเคลือบพื้นของแต่ละกลุ่มทดลองมาตรวจสอบความปกติในการแยกแจงของข้อมูล (normality) ด้วยวิธีเชปีโรวิลค์ (Shapiro-Wilk test) และใช้การวิเคราะห์ความแปรปรวนแบบสองทาง (Two-way Analysis of Variance) ในการทดสอบการมีปฏิสัมพันธ์ทางสถิติ (statistical interaction) ของปัจจัยทั้งสองในการศึกษานี้คือชนิดของสารยึดติด และระยะเวลาภายหลังการบูรณะ เปรียบเทียบความแตกต่างของค่าความแข็งแรงพันธะเฉือนระหว่างกลุ่มทดลองโดยใช้การเปรียบเทียบพหุคุณ (multiple comparisons)

ตารางที่ 2 แสดงค่าเฉลี่ยและส่วนเบี่ยงเบนมาตรฐานของความแข็งแรงพันธะเฉือนระหว่างตัวอย่างของสารยึดติดต่อผิวเคลือบพื้น ความแข็งแรงพันธะเฉือนระหว่างตัวอย่างของสารยึดติดต่อผิวเคลือบพื้น ความแข็งแรงพันธะเฉือนระหว่างตัวอย่างของสารยึดติดต่อผิวเคลือบพื้นที่ได้รับการวิเคราะห์ที่ต่อไปนี้

**Table 2 Mean microshear bond strengths and standard deviations of adhesives to enamel (Megapascal)**

Adhesive	Time	Mean±s.d. (Number of specimens tested)
Clearfil Tri-S Bond	Immediate	18.28±2.54 (12)
	24 hours	21.68±4.05 (12)
Clearfil SE Bond	Immediate	18.45±3.81 (12)
	24 hours	24.29±4.70 (12)

ข้อมูลความถี่ของลักษณะการแตกหักของชิ้นงานภายหลังการทดสอบความแข็งแรงพันธะเฉือน จะถูกนำมาวิเคราะห์ความแตกต่างทางสถิติแบบไม่ใช้พารามิเตอร์ (Non-parametric statistical analysis) ด้วยวิธีไคสแควร์ (Chi-square test) โดยการวิเคราะห์ข้อมูลทั้งหมด ใช้โปรแกรมคอมพิวเตอร์สำหรับทางสถิติ (SPSS version 13.0 for Windows; SPSS Inc., Chicago, Illinois, USA) โดยกำหนดค่านัยสำคัญทางสถิติที่ระดับความเชื่อมั่นร้อยละ 95

### ผล

ตารางที่ 2 แสดงค่าเฉลี่ยและส่วนเบี่ยงเบนมาตรฐานของความแข็งแรงพันธะเฉือนระหว่างตัวอย่างของสารยึดติดต่อผิวเคลือบพื้น ความแข็งแรงพันธะเฉือนระหว่างตัวอย่างของสารยึดติดต่อผิวเคลือบพื้นที่ได้รับการวิเคราะห์ทางสถิติในกรณีของข้อมูลจากการตรวจสอบด้วยวิธีเชปีโรวิลค์ ( $p \geq .182$ ) เมื่อทำการวิเคราะห์ความแปรปรวนแบบสองทาง ไม่พบการมีปฏิสัมพันธ์ทางสถิติของชนิดของสารยึดติดต่อผิวเคลือบพื้น ( $p = .224$ ) และไม่พบการมีปฏิสัมพันธ์ทางสถิติของสารยึดติดเมื่อพิจารณาร่วมกับระยะเวลาภายหลังการบูรณะต่อความแข็งแรงพันธะเฉือน ( $p = .284$ ) แต่พบการมีปฏิสัมพันธ์ทางสถิติของระยะเวลาภายหลังการบูรณะต่อความแข็งแรงพันธะเฉือน ( $p < .001$ ) จากการทดสอบสถิติที่สำหรับการวิเคราะห์ข้อมูล 2 กลุ่มที่เป็นอิสระต่อกัน (Student's t-test) พบว่าความแข็งแรงพันธะเฉือนของสารยึดติดทั้ง 2 ผลิตภัณฑ์ต่อผิวเคลือบพื้น เมื่อทำการทดสอบทันทีภายหลังการบูรณะ มีค่าร้อยละ เมื่อทำการทดสอบภายหลังการบูรณะ 24 ชั่วโมง อย่างมีนัยสำคัญ ( $p < .001$ )

การตรวจสอบลักษณะพื้นผิวของชิ้นงานภายหลังการแตกหัก พนฐานแบบการแตกหักแบบแอดไฮด์ฟิบรีเวนรอยต่อของผิวเคลือบฟันกับสารยึดติด และการแตกหักแบบผสมซึ่งพบการแตกหักบริเวณรอยต่อของผิวเคลือบฟันกับสารยึดติดร่วมกับการแตกหักภายในชั้นสารยึดติด (ตารางที่ 3) จากการวิเคราะห์ทางสถิติไม่พบความแตกต่างของลักษณะพื้นผิวของชิ้นงานภายหลัง

ตารางที่ 3 แสดงจำนวนชิ้นงานจำแนกตามลักษณะการแตกหัก (ชิ้น)

**Table 3 Number of specimens classified by type of failure (pieces)**

Adhesive	Time	Adhesive failure	Mixed failure
Clearfil Tri-S Bond	Immediate	1	11
	24 hours	2	10
Clearfil SE Bond	Immediate	9	3
	24 hours	4	8

จากการตรวจสอบลักษณะผิวเคลือบฟันภายหลังการปรับสภาพด้วยสารยึดติดแต่ละผลิตภัณฑ์ภายใต้กล้องจุลทรรศน์ ผลลัพธ์ของผิวเคลือบฟันที่มีรูปแบบไม่เรียบเท่าไร (Non-uniform etching pattern) (รูปที่ 2 และ 3) โดยผิวเคลือบฟันภายหลังการปรับสภาพด้วยสารยึดติดผลิตภัณฑ์เคลียร์ฟิล์โลเรอสบอนด์ มีลักษณะขุ่นระเก็กน้อย มีความลึกของผิวเคลือบฟันที่ผ่านการปรับสภาพไม่มาก ดังจะเห็นได้จากการพบรอยของ การเตรียมผิวเคลือบฟันด้วยกระดาษทรายปูร์กูญ่า อย่างชัดเจนโดยทั่วไป (รูปที่ 2.1) ภาพถ่ายจากกล้องจุลทรรศน์ ผลลัพธ์ของผิวเคลือบฟันที่กำลังขยายมากขึ้น แสดงให้เห็นการเผยแพร่องแท่งเคลือบฟัน (Enamel rod) เล็กน้อยในบางตำแหน่ง (รูปที่ 2.2) ในขณะที่การใช้เพรมเมอร์ที่มีความเป็นกรด (Acidic primer) ของสารยึดติดผลิตภัณฑ์เคลียร์ฟิล์โลเรสบอนด์ จะทำให้ผิวเคลือบฟันมีลักษณะขุ่นระเก็กน้อยที่ปรับสภาพอย่างเป็นรูปแบบมากกว่ารวมทั้งมีความลึกของผิวเคลือบฟันที่ผ่านการปรับสภาพมากกว่า ดังจะเห็นได้จากรอยของ การเตรียมผิวเคลือบฟันด้วยกระดาษทรายมีลักษณะไม่ชัดเจนเท่ากับการปรับสภาพผิวเคลือบฟันด้วยสารยึดติดผลิตภัณฑ์เคลียร์ฟิล์โลเรสบอนด์ (รูปที่ 3.1) และสามารถพบการเผยแพร่องแท่งเคลือบฟันอย่างชัดเจนโดยทั่วไปเมื่อทำการทดสอบด้วยกล้องจุลทรรศน์ (รูปที่ 3.2)

การแตกหักในแต่ละกลุ่มของสารยึดติด ( $p \geq .05$ ) แต่เมื่อพิจารณาในแต่ละระยะเวลาที่ทดสอบความแข็งแรงพันธะเชื่อมภายหลังการบูรณะพบว่า กลุ่มทดลองสารยึดติดผลิตภัณฑ์เคลียร์ฟิล์โลเรสบอนด์ มีรูปแบบการแตกหักแบบผสมมากกว่ากลุ่มทดลองผลิตภัณฑ์เคลียร์ฟิล์โลเรสบอนด์ เมื่อทำการทดสอบภายหลังการบูรณะทันทีอย่างมีนัยสำคัญ ( $p = .001$ )

## บทวิจารณ์

จากการศึกษาที่ผ่านมา พบว่าความแข็งแรงพันธะเชื่อมระหว่างตัวบุคลิกภาพของสารยึดติดระบบเซลฟ์เอทช์ทั้ง 2 ผลิตภัณฑ์ต่อผิวเคลือบฟันภายหลังการบูรณะทันทีมีค่าน้อยกว่าความแข็งแรงพันธะเชื่อมภายหลังการบูรณะ 24 ชั่วโมงอย่างมีนัยสำคัญ จึงปฏิเสธสมมติฐานว่าที่ 1 ของงานวิจัย แต่เมื่อเปรียบเทียบความแข็งแรงพันธะเชื่อมในช่วงระยะเวลาทดสอบเดียวกัน พบว่า ประสิทธิภาพการยึดติดกับผิวเคลือบฟันของสารยึดติดทั้ง 2 ผลิตภัณฑ์ไม่มีความแตกต่างกัน จึงยอมรับสมมติฐานว่าที่ 2 ของงานวิจัย

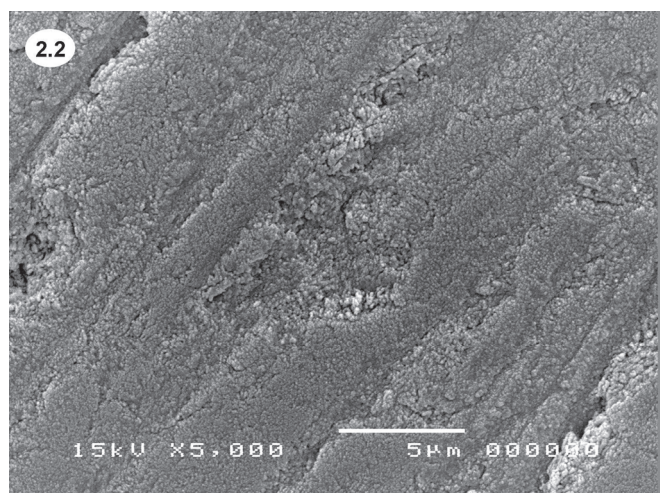
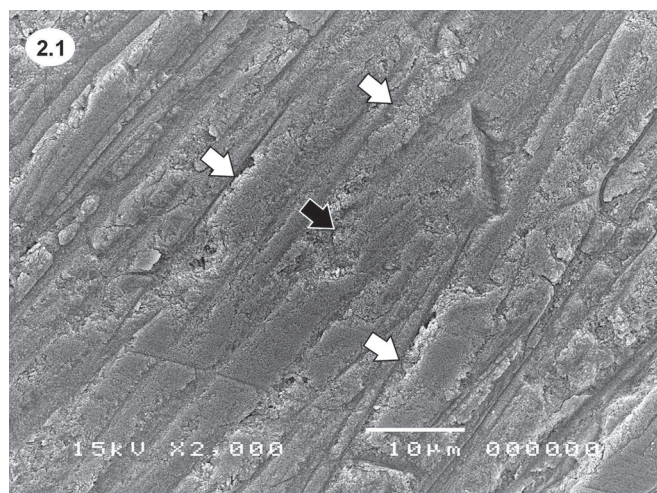
ความแข็งแรงพันธะของสารยึดติดที่เพิ่มขึ้นภายหลังการเก็บชิ้นงานไว้เป็นเวลา 24 ชั่วโมงนี้สอดคล้องกับผลการศึกษาที่ผ่านมา<sup>15-17</sup> สาเหตุหนึ่งเนื่องมาจากความสมบูรณ์ของการเกิดปฏิกิริยาโพลิเมอร์ไซซ์นของสารยึดติดและเรซินคอมโพสิตที่เพิ่มขึ้นตามระยะเวลา<sup>9,10,15-17</sup> Kanehira และคณะ<sup>16</sup> พบว่าร้อยละการเปลี่ยนแปลงของมอนโอมอร์เป็นโพลิเมอร์ (Degree of conversion) ของสารยึดติดจะเพิ่มขึ้นตามระยะเวลาภายหลังการบ่มวัสดุให้เกิดปฏิกิริยาโพลิเมอร์ไซซ์น ลักษณะดังกลามีความสัมพันธ์โดยตรงกับคุณสมบัติทางกล (Mechanical properties) ของสาร

**รูปที่ 2** ภาพถ่ายจากกล้องจุลทรรศน์อิเล็กตรอนชนิดส่องกราดแสดงผิวเคลือบฟันภายหลังการปรับสภาพด้วยสารยึดติดผลิตภัณฑ์เคลียร์ฟิล์特เรอสบอนด์

**Fig. 2** SEM images of enamel surface after treatment with Clearfil Tri-S Bond.

**รูปที่ 2.1** ภาพกำลังขยาย 2,000 เท่า แสดงตำแหน่งที่มีการเผยแพร่องแท่งเคลือบฟัน (ถูกครีบบีบ) และรอยจากการเตรียมผิวเคลือบฟันด้วยกระดาษทราย (ถูกครุ่นไปร่วง)

**Fig. 2.1** Original magnification 2,000x. The exposure of enamel rods (arrows) and scratch lines after grinding the enamel surface with silicon carbide abrasive paper (open arrows) are observed.



**รูปที่ 2.2** ภาพกำลังขยาย 5,000 เท่า แสดงบริเวณที่มีการเผยแพร่องแท่งเคลือบฟัน

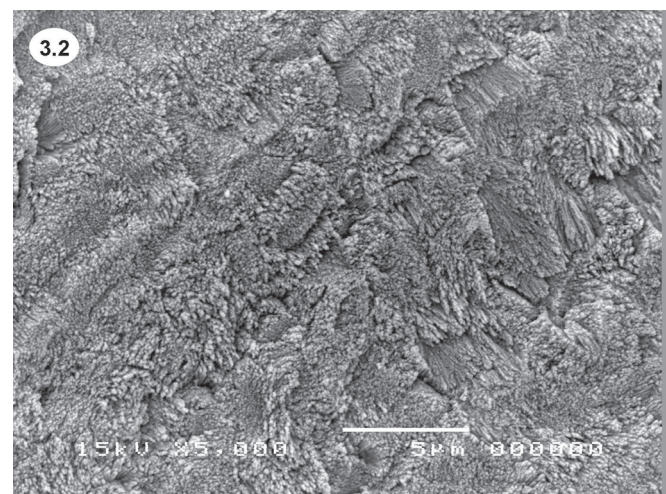
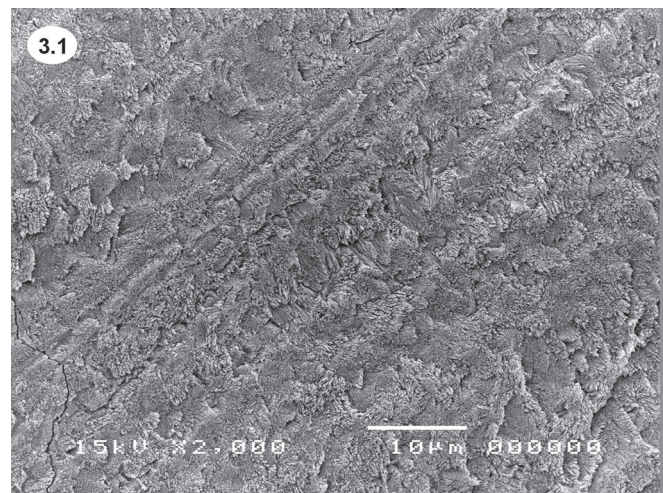
**Fig. 2.2** Original magnification 5,000x. The area with enamel rod exposure is shown.

**รูปที่ 3** ภาพถ่ายจากกล้องจุลทรรศน์อิเล็กตรอนชนิดส่องกราดแสดงผิวเคลือบฟันภายหลังการปรับสภาพด้วยไพร์เมอร์ที่มีความเป็นกรดของสารยึดติดผลิตภัณฑ์เคลียร์ฟิล์特เรอสบอนด์

**Fig. 3** SEM images of enamel surface after treatment with acidic primer of Clearfil SE Bond.

**รูปที่ 3.1** ภาพกำลังขยาย 2,000 เท่า แสดงลักษณะขรุขระของผิวเคลือบฟันและการเผยแพร่องแท่งเคลือบฟันโดยทั่วไป

**Fig. 3.1** Original magnification 2,000x. Rough enamel surface and exposure of enamel rods are clearly seen.



**รูปที่ 3.2** ภาพกำลังขยาย 5,000 เท่า แสดงความลึกของผิวบริเวณที่มีการเผยแพร่องแท่งเคลือบฟัน ซึ่งมีความลึกมากกว่ากรณีผิวเคลือบฟันที่ถูกปรับสภาพด้วยสารยึดติดผลิตภัณฑ์เคลียร์ฟิล์特เรอสบอนด์

**Fig. 3.2** Original magnification 5,000x. Depth of the area with enamel rod exposure is shown to be more pronounced than the group treated with Clearfil Tri-S Bond.

ยึดติด รวมถึงความแข็งแรงพันธะของสารยึดติดต่อผิวเคลือบฟัน ด้วย นอกจากนี้ยังมีการศึกษาที่แสดงให้เห็นว่า ร้อยละการเปลี่ยนแปลงของมอนอเมอร์เป็นผลลัพธ์ของเรซินคอมโพสิต ก็เพิ่มขึ้นตามระยะเวลากาลังการบ่มให้วัสดุเกิดปฏิกิริยาพอลิเมอร์ไวเรชัน เช่นเดียวกัน<sup>9,10</sup> ซึ่งส่งผลให้เรซินคอมโพสิตมีความแข็งผิว (Surface hardness) และความแข็งแรงดัดขวาง (Flexural strength) สูงขึ้น<sup>10,15</sup> รวมทั้งมีประสิทธิภาพที่ดีขึ้นในการยึดติดต่อโครงสร้างของฟัน<sup>15</sup>

สาเหตุอีกประการหนึ่งที่อาจส่งผลให้ความแข็งแรงพันธะของสารยึดติดเพิ่มขึ้น คือการไหล (flow) ของเรซินคอมโพสิต ในการบูรณะโพรงฟันโดยทั่วไป เรซินคอมโพสิตจะยึดติดกับพื้น (floors) และผนัง (walls) ของโพรงฟัน ซึ่งทำให้เกิดความเด่นจากการหดตัวของวัสดุจากการเกิดปฏิกิริยาพอลิเมอร์ไวเรชัน (Polymerization contraction stress) ขึ้นที่บริเวณดังกล่าว<sup>11</sup> การไหลของเรซินคอมโพสิตในบริเวณที่วัสดุไม่มีการยึดติดกับโครงสร้างของฟันจะสามารถลดความเด่น (stress relaxation) จากการหดตัวของวัสดุลงได้<sup>18</sup> อัตราส่วนของพื้นที่ที่เรซินคอมโพสิตมีการยึดติดกับโครงสร้างของฟัน (bonded surface area) และพื้นที่ที่เรซินคอมโพสิตไม่มีการยึดติดกับโครงสร้างของฟัน (free surface area) หรือที่รู้จักกันในชื่อ “ชีฟเฟกเตอร์” (Cavity configuration factor; C-factor) เป็นค่าที่สะท้อนถึงความสามารถในการไหลของเรซินคอมโพสิตเพื่อลดความเด่นจากการหดตัวของวัสดุ<sup>18</sup> รวมทั้งมีความสัมพันธ์กับความแข็งแรงพันธะของสารยึดติดด้วย<sup>19,20</sup> ในกรณีศึกษานี้ การบูรณะเรซินคอมโพสิตจะทำบนพื้นผิวนานา ซึ่งมีพื้นที่ในการยึดติดกับผิวเคลือบฟันประมาณ 0.44 ตารางมิลลิเมตร และมีพื้นที่ไม่มีการยึดติดกับผิวเคลือบฟันประมาณ 2.8 ตารางมิลลิเมตร โดยมีค่าชีฟเฟกเตอร์ประมาณ 0.16 ทำให้เรซินคอมโพสิตสามารถเกิดการไหลในบริเวณที่ไม่มีการยึดติดกับผิวเคลือบฟันได้อย่างเต็มที่ ด้วยเหตุนี้ความเด่นจากการหดตัวของวัสดุจึงไม่ส่งผลกระทบต่อความแข็งแรงพันธะของสารยึดติดเมื่อทำการทดสอบภายหลังการบูรณะเป็นเวลา 24 ชั่วโมง

อย่างไรก็ตาม ในทางคลินิก การหดตัวของเรซินคอมโพสิต เป็นปัญหาสำคัญที่ทำให้เกิดความเด่นบริเวณส่วนต่าง ๆ ของโพรงฟัน และอาจส่งผลให้เกิดความล้มเหลวในการยึดติดได้<sup>11</sup> การบูรณะโพรงฟันด้วยวิธีใส่เรซินคอมโพสิตเป็นชั้น (Incremental technique) สามารถลดค่าชีฟเฟกเตอร์ ทำให้เกิดการไหลของเรซินคอมโพสิตในบริเวณที่ไม่มีการยึดติดกับโพรงฟัน ซึ่งจะช่วยลดความเด่นจากการหดตัวของวัสดุลงได้<sup>20</sup> การบูรณะโพรงฟันด้วยวัสดุบูรณะที่มีมอดูลัสของสภาพยึดหยุ่น (Modulus of elasticity) ต่ำ<sup>21</sup> หรือ

การใช้สารเรซินคั่นกลาง (Intermediate resin) ที่มีสภาพยึดหยุ่นที่เหมาะสมเพิ่มเข้าไประหว่างสารยึดติดกับเรซินคอมโพสิต<sup>15</sup> เป็นอีกวิธีหนึ่งซึ่งสามารถลดความเด่นจากการหดตัวของวัสดุจากการเกิดปฏิกิริยาพอลิเมอร์ไวเรชัน นอกจากนี้ การใช้แสงที่มีความเข้มแสงต่ำในการบ่มเรซินคอมโพสิตให้เกิดปฏิกิริยาพอลิเมอร์ไวเรชันในระยะแรก ตามด้วยการใช้แสงที่มีความเข้มแสงสูงในการบ่มเรซินคอมโพสิตให้เกิดปฏิกิริยาพอลิเมอร์ไวเรชันอย่างสมบูรณ์ ก็สามารถลดความเด่นจากการหดตัวของวัสดุลงได้เช่นกัน<sup>22</sup>

สารยึดติดระบบเซลฟ์เจลทั้ง 2 ผลิตภัณฑ์ที่ใช้ในการศึกษานี้ มีความแข็งแรงพันธะในการยึดติดกับผิวเคลือบฟันที่ใกล้เคียงกัน การยึดติดระบบเซลฟ์เจลกับผิวเคลือบฟัน เป็นการยึดทางกลระดับจุลภาคจากการใช้มอนอเมอร์ที่มีความเป็นกรดปั๊บสภาพผิวเคลือบฟัน ซึ่งจะเกิดการละลายของคิประกอบอนินทรีออกบางส่วน และทำให้พื้นผิวมีลักษณะขุ่นระ เมื่อสารยึดติดแทรกซึ่งลงไปในร่องขุ่นระดังกล่าวจะเกิดเป็นแท่งเรซิน (Resin tag) ในกรณีดักผิวเคลือบฟัน<sup>4</sup> ภาพถ่ายจากกล้องจุลทรรศน์อิเล็กตรอนชนิดสองกราดแสดงให้เห็นว่าสารยึดติดทั้ง 2 ผลิตภัณฑ์ สามารถปั๊บสภาพผิวเคลือบฟันให้มีลักษณะขุ่นระได้ โดยมอนอเมอร์ที่มีความเป็นกรดของผลิตภัณฑ์เคลียร์ฟิลเลสอีบอนด์ ทำให้ผิวเคลือบฟันมีลักษณะขุ่นระมาก กว่าการใช้สารยึดติดผลิตภัณฑ์เคลียร์ฟิลล์ไตรเอสบอนด์ ซึ่งลักษณะดังกล่าวสอดคล้องกับค่าความเป็นกรด (pH) ของแต่ละผลิตภัณฑ์สารยึดติด โดยผลิตภัณฑ์เคลียร์ฟิลเลสอีบอนด์ มีค่าความเป็นกรดประมาณ 1.9 ในขณะที่ผลิตภัณฑ์เคลียร์ฟิลล์ไตรเอสบอนด์ มีค่าความเป็นกรดประมาณ 2.7 (ข้อมูลจากบริษัทผู้ผลิต) ทำให้ผลิตภัณฑ์เคลียร์ฟิลเลสอีบอนด์ มีประสิทธิภาพสูงกว่าใน การปั๊บสภาพผิวเคลือบฟันให้มีลักษณะขุ่นระ อย่างไรก็ตาม ความแข็งแรงพันธะของสารยึดติดต่อผิวเคลือบฟันไม่มีความสัมพันธ์กับขนาดและความยาวของแท่งเรซิน<sup>23</sup> แต่ขึ้นอยู่กับความสมบูรณ์ในการแทรกซึ่งของสารยึดติดลงไปในร่องขุ่นระบนผิวเคลือบฟันที่ผ่านการปั๊บสภาพ<sup>4,23</sup> ลักษณะร่องขุ่นระบนผิวเคลือบฟันซึ่งมีความลึกไม่มากนักภายในหลังการปั๊บสภาพด้วยสารยึดติดระบบเซลฟ์เจลทั้ง 2 ผลิตภัณฑ์ อาจทำให้การแทรกซึ่งของสารยึดติดเกิดขึ้นได้อย่างสมบูรณ์ และส่งผลให้ความแข็งแรงพันธะของสารยึดติดไม่มีความแตกต่างกันอย่างมีนัยสำคัญ

นอกจากการยึดทางกลระดับจุลภาคแล้ว Yoshida และคณะ<sup>24</sup> พบว่ามอนอเมอร์ที่มีความเป็นกรดของสารยึดติดระบบเซลฟ์เจลสามารถเกิดการยึดติดทางเคมีกับแคลเซียมในโครงสร้าง

ของฟันได้ โดยผลิตภัณฑ์ทั้ง 2 ชนิด ใน การศึกษานี้ใช้เอ็มดีพี (10-Methacryloyloxydecyl dihydrogen phosphate; MDP) เป็นส่วนประกอบของมอนอเมอร์ที่มีความเป็นกรด ซึ่งเอ็มดีพีสามารถเกิดการยึดทางเคมีกับเคลือบเชี่ยมในไฮดรอกซีอะพาไทต์ (Hydroxyapatite) ได้อย่างเลลี่ยรและมีประสิทธิภาพ<sup>24</sup> จึงอาจเป็นสาเหตุให้สารยึดติดระบบเซลฟ์ເອທີ່ 2 ผลิตภัณฑ์นี้ มีความแข็งแรงพันธะในการยึดติดกับผิวเคลือบฟันที่ไม่แตกต่างกัน

อย่างไรก็ตาม เมื่อพิจารณาโดยละเอียดพบว่าความแข็งแรงพันธะของสารยึดติดผลิตภัณฑ์เคลือบฟิล์โลสบอนด์ มีค่าต่ำกว่าสารยึดติดผลิตภัณฑ์เคลือบฟิล์โลสอีบอนด์เล็กน้อย แม้จะไม่มีความแตกต่างกันอย่างมีนัยสำคัญทางสถิติ รวมทั้งพบ การแตกหักภายในชั้นสารยึดติดของกลุ่มทดลองเคลือบฟิล์โลสบอนด์มากกว่ากลุ่มทดลองเคลือบฟิล์โลสอีบอนด์ เมื่อตรวจสอบพื้นผิวของชั้นงานภายหลังการแตกหัก ลักษณะดังกล่าว อาจบ่งบอกถึงความบกพร่องภายในชั้นสารยึดติด<sup>25,26</sup> เคลือบฟิล์โลสบอนด์เป็นผลิตภัณฑ์สารยึดติดระบบเซลฟ์ເອທີ່ 1 ชั้นตอน ซึ่งรวมชั้นตอนการทำงาน ได้แก่ ชั้นตอนการปรับสภาพผิวฟัน (Etching) การส่งเสริมการยึดติด (Priming) และการยึดติด (Bonding) เข้าไว้ด้วยกันโดยใช้สารละลายเพียงชั้นตอนเดียว<sup>4</sup> การมีน้ำหรือตัวทำละลายอื่นเป็นองค์ประกอบร่วมในสารยึดติดอาจส่งผลเสียต่อคุณสมบัติทางกล<sup>26</sup> รวมถึงประสิทธิภาพการยึดติดกับโครงสร้างของฟันได้<sup>4</sup> นอกจากนี้การที่สารยึดติดมีคุณสมบัติเข้ากันได้ดีกับความชื้น จึงประพฤติตัวเสมือนเป็นเยื่อเลือกผ่าน (Semi-permeable membrane) ที่ยอมให้น้ำผ่านเข้าออกได้<sup>25</sup> ทำให้เกิดปฏิกิริยาการสลายตัวเหตุจากน้ำ (Hydrolysis) และการเสื่อมคุณภาพ (Degradation) ของสารยึดติดในระยะยาว<sup>4</sup> แต่เนื่องจากโครงสร้างของฟันที่ทำการยึดติดในการศึกษานี้เป็นผิวเคลือบฟัน ซึ่งมีความชื้นต่ำ<sup>1</sup> รวมทั้งการใช้ลมที่มีแรงดันสูง (High-pressure air stream) เป้าชั้นสารยึดติดก่อนการบرمให้เกิดปฏิกิริยาพลอลิเมอร์ไวซ์ชัน อันอาจเป็นการจำกัดน้ำและตัวทำละลายให้ระเหยออก จากสารยึดติดได้ค่อนข้างสมบูรณ์<sup>26</sup> ทำให้ปฏิกิริยาดังกล่าวส่งผลกระทบต่อความแข็งแรงพันธะของสารยึดติดไม่มากนักเมื่อเปรียบเทียบกับผลิตภัณฑ์เคลือบฟิล์โลสอีบอนด์ ซึ่งเป็นสารยึดติดระบบเซลฟ์ເອທີ່ 2 ชั้นตอน ถึงจะนนนการศึกษาประสิทธิภาพในระยะยาวของสารยึดติดระบบเซลฟ์ເອທີ່ 1 ชั้นตอน ต่อโครงสร้างของฟัน รวมถึงการจำลองสภาพแวดล้อมของการศึกษาให้ใกล้เคียงกับสภาพช่องปาก เช่น กระบวนการเทอร์โมไครคลิง (Thermocycling process) ยังเป็นสิ่งจำเป็น เพื่อศึกษาประสิทธิภาพและความคงทน (Durability) ในการยึดติดของสารยึดติดระบบเซลฟ์ເອທີ່ต่อ

โครงสร้างของฟัน รวมถึงชั้นตอนการทำงานทางคลินิกที่กระทำทันทีภายหลังการบูรณะโพรงฟัน เช่น การปรับการสบฟัน (Occlusal adjustment) การตอบแต่งเค้ารูป และการขัดวัสดุ ควรกระทำอย่างระมัดระวัง แรงดันหรือความร้อนที่เกิดขึ้นในชั้นตอนดังกล่าว รวมถึงการทดสอบความเรียนรู้ของเรียนคอมโพสิตจากการเกิดปฏิกิริยาพลอลิเมอร์ไวซ์ชัน อาจทำให้เกิดแรงเค้นที่บริเวณยึดติดระหว่างฟันกับเรียนคอมโพสิต ซึ่งอาจส่งผลให้เกิดความล้มเหลวในการยึดของสารยึดติดกับโครงสร้างของฟันได้

## บทสรุป

สารยึดติดระบบเซลฟ์ເອທີ່ 2 ผลิตภัณฑ์ ที่ใช้ในการศึกษานี้มีประสิทธิภาพในการยึดติดกับผิวเคลือบฟันไม่แตกต่างกัน โดยความแข็งแรงพันธะของสารยึดติดต่อผิวเคลือบฟันเมื่อทำการทดสอบภายหลังการบูรณะทันทีมีค่าน้อยกว่าเมื่อทำการทดสอบภายหลังการบูรณะ 24 ชั่วโมง อย่างมีนัยสำคัญ

## เอกสารอ้างอิง

- Van Meerbeek B, Perdigão J, Gladys S, Lambrechts P, Vanherle G. Enamel and dentin adhesion. In: Schwartz RS, Summitt JB, Robbins JW, editors. Fundamentals of operative dentistry. 1<sup>st</sup> ed. Chicago: Mosby; 1996. p.141-86.
- Buonocore MG. A simple method of increasing the adhesion of acrylic filling materials to enamel surfaces. *J Dent Res* 1955;34:849-53.
- Nakabayashi N, Kojima K, Masuhara E. The promotion of adhesion by the infiltration of monomers into tooth substrates. *J Biomed Mater Res* 1982;16:265-73.
- Van Meerbeek B, Van Landuyt K, De Munck J, Hashimoto M, Peumans M, Lambrechts P, et al. Technique-sensitivity of contemporary adhesives. *Dent Mater J* 2005;24:1-13.
- Brackett WW, Tay FR, Looney SW, Ito S, Haisch LD, Pashley DH. Microtensile dentin and enamel bond strengths of recent self-etching resins. *Oper Dent* 2008;33:89-95.
- Perdigão J, Gomes G, Gondo R, Fundingsland JW. In vitro bonding performance of all-in-one adhesives. Part I--microtensile bond strengths. *J Adhes Dent* 2006;8:367-73.
- Inoue S, Vargas MA, Abe Y, Yoshida Y, Lambrechts P, Vanherle G, et al. Microtensile bond strength of eleven contemporary adhesives to enamel. *Am J Dent* 2003;16:329-34.

8. De Munck J, Van Meerbeek B, Satoshi I, Vargas M, Yoshida Y, Armstrong S, et al. Microtensile bond strengths of one-and two-step self-etch adhesives to bur-cut enamel and dentin. *Am J Dent* 2003;16:414-20.
9. Tarumi H, Imazato S, Ehara A, Kato S, Ebi N, Ebisu S. Post-irradiation polymerization of composites containing bis-GMA and TEGDMA. *Dent Mater* 1999;15:238-42.
10. Leung RL, Adishian SR, Fan PL. Postirradiation comparison of photoactivated composite resins. *J Prosthet Dent* 1985;54:645-9.
11. Davidson CL, de Gee AJ, Feilzer A. The competition between the composite-dentin bond strength and the polymerization contraction stress. *J Dent Res* 1984;63: 1396-9.
12. Alonso RC, Cunha LG, Correr GM, Cunha Brandt W, Correr-Sobrinho L, Sinhoreti MA. Relationship between bond strength and marginal and internal adaptation of composite restorations photocured by different methods. *Acta Odontol Scand* 2006;64:306-13.
13. Shimada Y, Senawongse P, Harnirattisai C, Burrow MF, Nakaoki Y, Tagami J. Bond strength of two adhesive systems to primary and permanent enamel. *Oper Dent* 2002;27: 403-9.
14. Oliveira SS, Marshall SJ, Hilton JF, Marshall GW. Etching kinetics of a self-etching primer. *Biomaterials* 2002;23: 4105-12.
15. Irie M, Hatanaka K, Suzuki K, Watts DC. Immediate versus water-storage performance of Class V flowable composite restoratives. *Dent Mater* 2006;22:875-83.
16. Kanehira M, Finger WJ, Hoffmann M, Endo T, Komatsu M. Relationship between degree of polymerization and enamel bonding strength with self-etching adhesives. *J Adhes Dent* 2006;8:211-6.
17. Burrow MF, Tagami J, Negishi T, Nikaido T, Hosoda H. Early tensile bond strengths of several enamel and dentin bonding systems. *J Dent Res* 1994;73:522-8.
18. Feilzer AJ, De Gee AJ, Davidson CL. Setting stress in composite resin in relation to configuration of the restoration. *J Dent Res* 1987;66:1636-9.
19. Cabrera E, de la Macorra JC. Polymerization shrinkage influences microtensile bond strength. *J Dent Res* 2007; 86:227-31.
20. Yoshikawa T, Sano H, Burrow MF, Tagami J, Pashley DH. Effects of dentin depth and cavity configuration on bond strength. *J Dent Res* 1999;78:898-905.
21. Kemp-Scholte CM, Davidson CL. Complete marginal seal of Class V resin composite restorations effected by increased flexibility. *J Dent Res* 1990;69:1240-3.
22. Yoshikawa T, Burrow MF, Tagami J. A light curing method for improving marginal sealing and cavity wall adaptation of resin composite restorations. *Dent Mater* 2001;17:359-66.
23. Shinchi MJ, Soma K, Nakabayashi N. The effect of phosphoric acid concentration on resin tag length and bond strength of a photo-cured resin to acid-etched enamel. *Dent Mater* 2000;16:324-9.
24. Yoshida Y, Nagakane K, Fukuda R, Nakayama Y, Okazaki M, Shintani H, et al. Comparative study on adhesive performance of functional monomers. *J Dent Res* 2004; 83:454-8.
25. Tay FR, Pashley DH, Suh BI, Carvalho RM, Itthagaran A. Single-step adhesives are permeable membranes. *J Dent* 2002;30:371-82.
26. Ikeda T, De Munck J, Shirai K, Hikita K, Inoue S, Sano H, et al. Effect of air-drying and solvent evaporation on the strength of HEMA-rich versus HEMA-free one-step adhesives. *Dent Mater* 2008;24:1316-23.

## Original Article

# Bond Strengths of Self-Etch Adhesives to Enamel Measured Immediately and 24 Hours after Placement

**Vanthana Sattabanasuk**

Lecturer

Department of Conservative Dentistry and Prosthodontics

Faculty of Dentistry, Srinakharinwirot University

**Tanit Jirabundansuk**

Private dentist

**Nath Nuntaratpun**

Dentist

Sirindhorn College of Public Health, Phitsanulok

**Correspondence to:**

Lecturer Vanthana Sattabanasuk

Department of Conservative Dentistry and Prosthodontics

Faculty of Dentistry, Srinakharinwirot University

Sukhumvit 23, Wattana District, Bangkok 10110

Tel/Fax: 02-6495212

E-mail: vanthana@swu.ac.th

## Abstract

In clinical situations, the bonded interface between tooth substrate and resin-based composite is inevitably subjected to stresses immediately after its placement. The present study aims to evaluate and compare the bond strengths of two self-etch adhesives to enamel measured immediately and 24 hours after placement. Intact, non-carious, non-restored human permanent molars were mesio-distally sectioned into halves. Each half was mounted into stone plaster with middle enamel surface exposed to the environment. The enamel surfaces were ground flat with abrasive paper and restored with resin-based composite using either Clearfil Tri-S Bond or Clearfil SE Bond. Microshear bond strengths were assessed immediately or 24 hours later. Bond strength data were analyzed with two-way ANOVA. The fractured surfaces were observed under stereomicroscope and failure mode frequencies were compared using the Chi-square test. Representative enamel surfaces after each adhesive treatment were examined under scanning electron microscope (SEM). No statistically significant difference in shear bond strengths was detected between the two adhesives ( $p = .224$ ); however, significantly lower values were revealed at the time immediately after resin-based composite placement ( $p < .001$ ) as compared to 24 hours later. Immediately after placement, Clearfil Tri-S Bond specimens were more likely to have failure pathway in adhesive layer than Clearfil SE Bond specimens ( $p = .001$ ). Under SEM observations, both adhesives created rough enamel surfaces after treatments with acidic monomers. From the results of this study, it can be concluded that enamel bonding effectiveness of both self-etch adhesives was not different; however from each other, shear bond strengths measured immediately were shown to be lower than those measured 24 hours afterward.

**Key words:** enamel; microshear bond strength; self-etch adhesive